

ЯДЕРНЫЕ СТЕПЕНИЯ СВОБОДЫ В АТОМНОЙ ФИЗИКЕ

Е.В. Грызлова

НИИЯФ МГУ

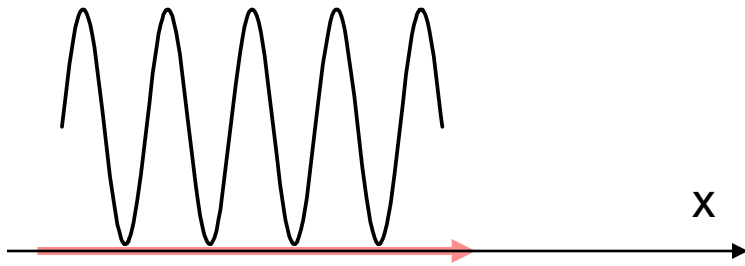
Весенний семестр 2020 г.

- «Разминка»
- Спектры систем со сферической симметрией
- **Сжатые атомы и резонансы формы**
- **Двухуровневая система с сильно связанными состояниями**
- **Атомная спектроскопия антипротония**
- **Поляризация излучения и дихроизм**
- **Плоская волна и волновой пакет – волна вещества.**
- **Нобелевская премия по физике 2012 года.**
Изучение одиночной квантовой системы
- **Когерентные и сжатые состояния волновых пакетов**
- **Начала теории рассеяния**
- **Особенности резонансного рассеяния и неэкспоненциальный распад**
- **Ионные ловушки**

○ **Плоская волна и волновой пакет – волна вещества.**

- а) Туннелирование волны через барьер сложной формы: интерференция волн.
- б) ослабление поглощения, резонансы.
- в) конфайнмент резонансы – резонансы формы.
- г) понятие волнового пакета и его эволюция в простых потенциалах.

Плоская волна: понятие потока



Волновая функция свободной частицы

$$-\frac{1}{2} \frac{\partial^2}{\partial x^2} \varphi(r) = E \cdot \varphi(r) \quad k_1 = \sqrt{2 \cdot E}$$

Волновая функция континуума $\varphi(r) = A_1 e^{ik_1 r} + B_1 e^{-ik_1 r}$

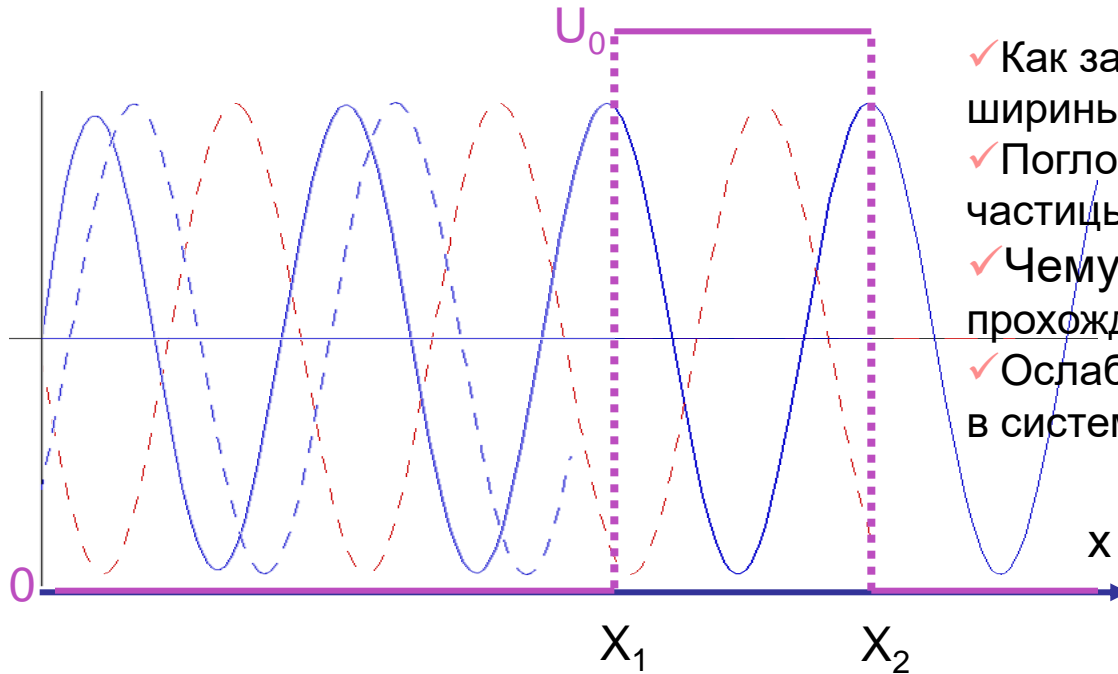
$$\frac{d}{dt} \int |\varphi|^2 dv = \int \left(\frac{\partial \varphi}{\partial t} \varphi^* + \frac{\partial \varphi^*}{\partial t} \varphi \right) dv = i \int (\varphi \hat{H}^* \varphi^* - \varphi^* \hat{H} \varphi) dv$$

$$\frac{d}{dt} \int |\varphi|^2 dv = -\frac{i}{2} \int (\varphi \cdot \Delta \varphi^* - \varphi^* \cdot \Delta \varphi) dv = -\int \text{div } j dv, \quad j = \frac{i}{2} (\varphi \cdot \text{grad } \varphi^* - \varphi^* \cdot \text{grad } \varphi)$$

$$\frac{d}{dt} \int |\varphi|^2 dv + \int \text{div } j dv = 0$$

$$j = k_1$$

Отражение плоской волны



- ✓ Как зависит поглощение от высоты и ширины барьера?
- ✓ Поглощается ли волна, если энергия частицы выше энергии барьера?
- ✓ Чему равен коэффициент прохождения при $E=U_0$?
- ✓ Ослабится или усилится поглощение в системе из двух барьеров?

$$-\frac{1}{2} \frac{\partial^2}{\partial x^2} \varphi(x) + V(x)\varphi(x) = E \cdot \varphi(x)$$

$$V(x) = \begin{cases} U_0, & X_1 < x < X_2 \\ 0 & \end{cases}$$

Уравнения непрерывности

$$k_1 = \sqrt{2 \cdot E}, k_2 = \sqrt{2 \cdot (U_0 - E)}$$

$$A_1 e^{ik_1 X_1} + B_1 e^{-ik_1 X_1} = A_2 e^{k_2 X_1} + B_2 e^{-k_2 X_1}$$

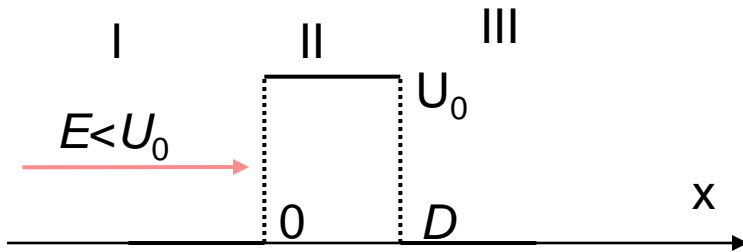
$$A_1 i k_1 e^{ik_1 X_1} - i k_1 B_1 e^{-ik_1 X_1} = A_2 k_2 e^{k_2 X_1} - k_2 B_2 e^{-k_2 X_1}$$

$$A_2 e^{k_2 X_2} + B_2 e^{-k_2 X_2} = A_3 e^{ik_1 X_2}$$

$$A_2 k_2 e^{k_2 X_2} - k_2 B_2 e^{-k_2 X_2} = A_3 i k_1 e^{ik_1 X_2}$$

Отражение плоской волны

Коэффициент поглощения при прохождении прямоугольного потенциального барьера



$$-\frac{1}{2} \frac{\partial^2}{\partial x^2} \varphi(x) + V(x)\varphi(x) = E \cdot \varphi(x)$$

$$k_1 = \sqrt{2 \cdot E}, k_2 = \sqrt{2 \cdot (U_0 - E)}$$

$$A_2 = A_3 e^{ik_1 D} \frac{k_2 + ik_1}{2k_2} e^{-k_2 D}$$

$$B_2 = A_3 e^{ik_1 D} \frac{k_2 - ik_1}{2k_2} e^{k_2 D}$$

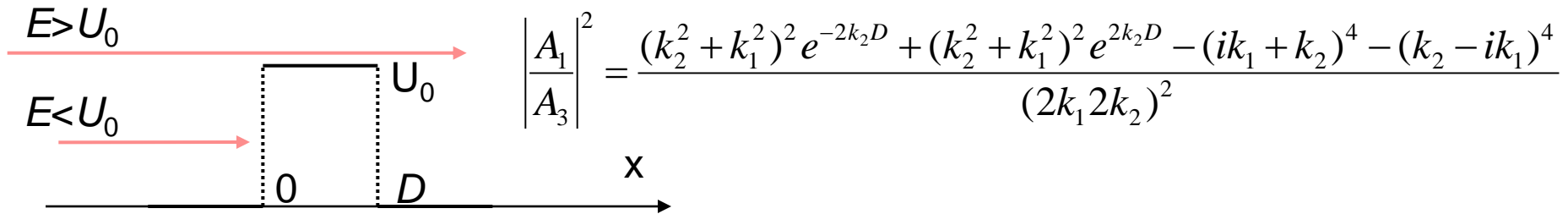
$$A_1 = \frac{ik_1 + k_2}{2ik_1} A_2 + \frac{ik_1 - k_2}{2ik_1} B_2 = \frac{ik_1 + k_2}{2ik_1} \frac{ik_1 + k_2}{2k_2} e^{-k_2 D} + \frac{ik_1 - k_2}{2ik_1} \frac{-ik_1 + k_2}{2k_2} e^{-k_2 D} = \frac{(ik_1 + k_2)^2 e^{-k_2 D} - (k_2 - ik_1)^2 e^{k_2 D}}{2ik_1 2k_2}$$

$$B_1 = \frac{ik_1 - k_2}{2ik_1} A_2 + \frac{ik_1 + k_2}{2ik_1} B_2 = \frac{ik_1 - k_2}{2ik_1} \frac{ik_1 + k_2}{2k_2} e^{-k_2 D} + \frac{ik_1 + k_2}{2ik_1} \frac{-ik_1 + k_2}{2k_2} e^{-k_2 D} = (k_1^2 + k_2^2) \frac{e^{k_2 D} - e^{-k_2 D}}{2ik_1 2k_2}$$

$$\left| \frac{A_1}{A_3} \right|^2 = \frac{(k_2^2 + k_1^2)^2 e^{-2k_2 D} + (k_2^2 + k_1^2)^2 e^{2k_2 D} - (ik_1 + k_2)^4 - (k_2 - ik_1)^4}{(2k_1 2k_2)^2} =$$

$$\frac{(k_2^2 + k_1^2)^2 (e^{-2k_2 D} + e^{2k_2 D}) - 2(k_2^2 - k_1^2)^2 + 4k_1^2 k_2^2}{(2k_1 2k_2)^2} = \frac{(k_2^2 + k_1^2)^2 (e^{-2k_2 D} + e^{2k_2 D}) - 2(k_2^2 + k_1^2)^2 + 16k_1^2 k_2^2}{(2k_1 2k_2)^2} = \frac{(k_2^2 + k_1^2)^2 \text{Sh}^2 k_2 D + 4k_1^2 k_2^2}{(2k_1 k_2)^2}$$

Отражение плоской волны



$$A_2 = A_3 e^{ik_1 D} \frac{k_2 + ik_1}{2k_2} e^{-k_2 D}$$

$$B_2 = A_3 e^{ik_1 D} \frac{k_2 - ik_1}{2k_2} e^{k_2 D}$$

$$A_1 = A_3 \frac{(ik_1 + k_2)^2 e^{-k_2 D} - (k_2 - ik_1)^2 e^{k_2 D}}{2ik_1 2k_2}$$

$$B_1 = A_3 (k_1^2 + k_2^2) \frac{e^{k_2 D} - e^{-k_2 D}}{2ik_1 2k_2}$$

Коэффициент поглощения при прохождении прямоугольного потенциального барьера

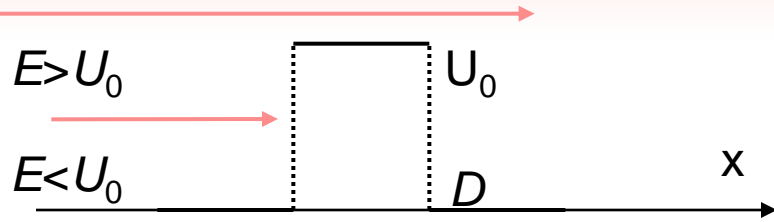
$$E < U_0 \quad k_1 = \sqrt{2 \cdot E}, k_2 = \sqrt{2 \cdot (U_0 - E)}$$

$$D = \frac{(2k_1 k_2)^2}{(k_2^2 + k_1^2)^2 \operatorname{Sh}^2 k_2 D + 4k_1^2 k_2^2}$$

$$E > U_0 \quad k_1 = \sqrt{2 \cdot E}, k_2 = \sqrt{2 \cdot (E - U_0)}$$

$$D = \frac{(2k_1 k_2)^2}{(k_2^2 - k_1^2)^2 \operatorname{Sin}^2 k_2 D + 4k_1^2 k_2^2}$$

Отражение плоской волны



$$k_1 = \sqrt{2 \cdot E}, k_2 = \sqrt{2 \cdot (U_0 - E)}$$

Коэффициент поглощения при прохождении прямоугольного потенциального барьера

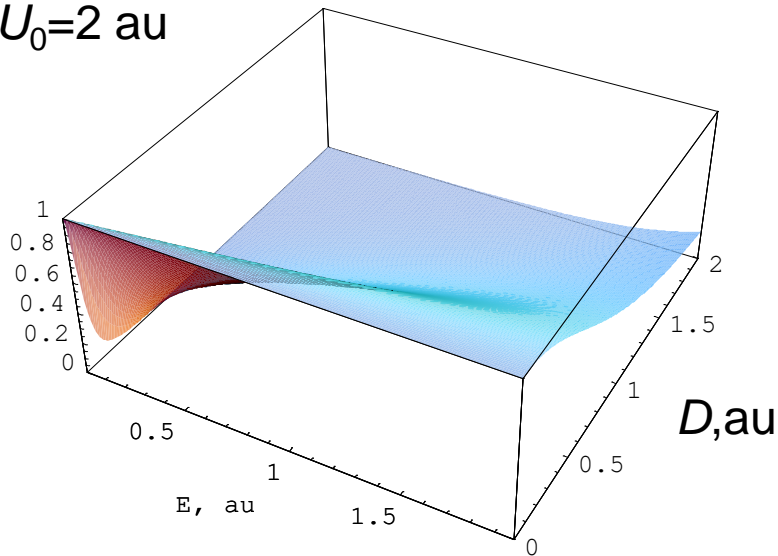
$E < U_0$

$$D = \frac{(2k_1 k_2)^2}{(k_2^2 + k_1^2)^2 \text{Sh}^2 k_2 D + 4k_1^2 k_2^2}$$

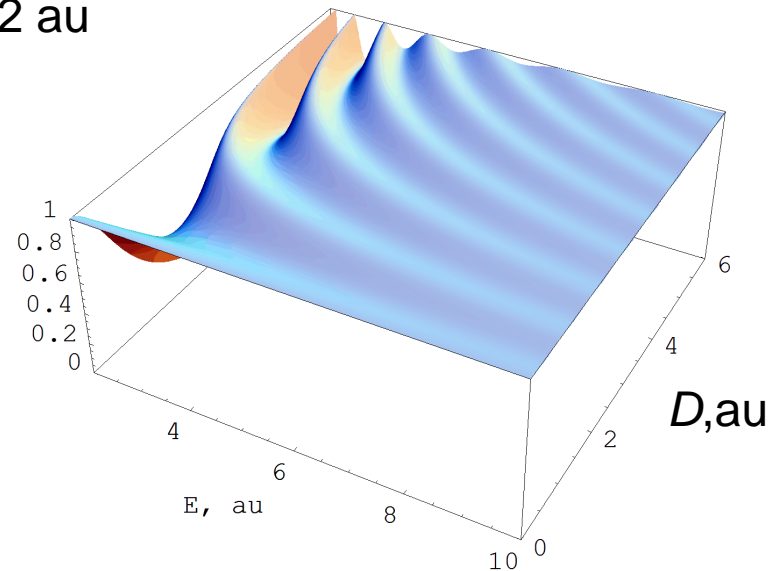
$E > U_0$

$$D = \frac{(2k_1 k_2)^2}{(k_2^2 - k_1^2)^2 \text{Sin}^2 k_2 D + 4k_1^2 k_2^2}$$

$U_0 = 2 \text{ au}$



$U_0 = 2 \text{ au}$



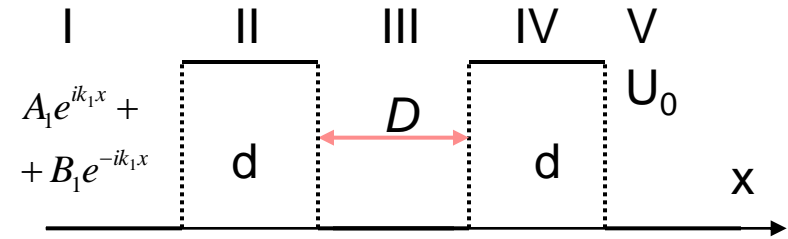
Исследовать поведение коэффициента прохождения при $E = U_0$

Отражение плоской волны от двойного барьера

Коэффициент поглощения при прохождении двойного прямоугольного потенциального барьера

$$k_1 = \sqrt{2 \cdot E}, k_2 = \sqrt{2 \cdot (U_0 - E)}$$

$$\kappa = \frac{k_1}{k_2}; \cos \phi_\kappa = \frac{1}{\sqrt{1 + \kappa^2}}; \sin \phi_\kappa = \frac{\kappa}{\sqrt{1 + \kappa^2}};$$



$$k_1 = \sqrt{2 \cdot E}, k_2 = \sqrt{2 \cdot (U_0 - E)}$$

$$A_4 e^{k_2(2d+D)} + B_4 e^{-k_2(2d+D)} = e^{ik_1(2d+D)};$$

$$A_4 k_2 e^{k_2(2d+D)} - B_4 k_2 e^{-k_2(2d+D)} = ik_1 e^{ik_1(2d+D)};$$

$$A_4 = e^{(ik_1 - k_2)(2d+D)} (1 + i\kappa) / 2 = \sqrt{1 + \kappa^2} e^{(ik_1 - k_2)(2d+D) + i\phi_\kappa} / 2;$$

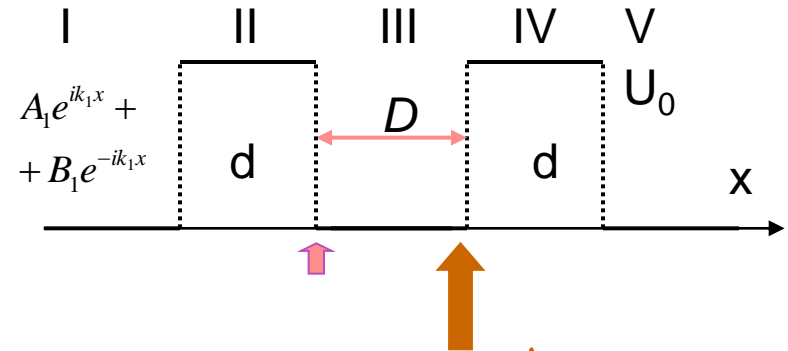
$$B_4 = e^{(ik_1 + k_2)(2d+D)} (1 - i\kappa) / 2 = \sqrt{1 + \kappa^2} e^{(ik_1 + k_2)(2d+D) - i\phi_\kappa} / 2;$$

Отражение плоской волны от двойного барьера

Коэффициент поглощения при прохождении двойного прямоугольного потенциального барьера

$$k_1 = \sqrt{2 \cdot E}, k_2 = \sqrt{2 \cdot (U_0 - E)}$$

$$\kappa = \frac{k_1}{k_2}; \cos \phi_\kappa = \frac{1}{\sqrt{1 + \kappa^2}}; \sin \phi_\kappa = \frac{\kappa}{\sqrt{1 + \kappa^2}};$$



$$A_3 = \sqrt{1 + \kappa^2}^2 e^{ik_1 d} [e^{-k_2 d + 2i\phi_\kappa} - e^{k_2 d - 2i\phi_\kappa}] / 4i\kappa$$

$$B_3 = \sqrt{1 + \kappa^2}^2 e^{ik_1(3d+2D)} [-e^{-k_2 d} + e^{k_2 d}] / 4i\kappa;$$

$$A_2 e^{k_2 d} + B_2 e^{-k_2 d} = A_3 e^{ik_1 d} + B_3 e^{-ik_1 d};$$

$$A_2 k_2 e^{k_2 d} - B_2 k_2 e^{-k_2 d} = ik_1 A_3 e^{ik_1 d} - iB_3 k_1 e^{-ik_1 d};$$

$$A_2 = \sqrt{1 + \kappa^2} e^{-k_2 d} [A_3 e^{ik_1 d + i\phi_\kappa} + B_3 e^{-ik_1 d - i\phi_\kappa}] / 2 =$$

$$\sqrt{1 + \kappa^2}^3 e^{ik_1 2d - k_2 d} [e^{-k_2 d + i3\phi_\kappa} - e^{-i\phi_\kappa + k_2 d} - e^{ik_1 2D - i\phi_\kappa - k_2 d} + e^{ik_1 2D - i\phi_\kappa + k_2 d}] / 8i\kappa$$

$$B_2 = \sqrt{1 + \kappa^2} e^{k_2 d} [A_3 e^{ik_1 d - i\phi_\kappa} + B_3 e^{-ik_1 d + i\phi_\kappa}] / 2 =$$

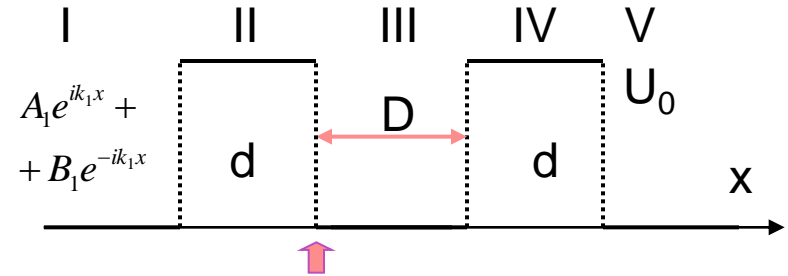
$$\sqrt{1 + \kappa^2}^3 e^{ik_1 2d + k_2 d} [e^{i\phi_\kappa - k_2 d} - e^{k_2 d - 3i\phi_\kappa} - e^{ik_1 2D + i\phi_\kappa - k_2 d} + e^{ik_1 2D + i\phi_\kappa + k_2 d}] / 8i\kappa;$$

Отражение плоской волны от двойного барьера

Коэффициент поглощения при прохождении двойного прямоугольного потенциального барьера

$$k_1 = \sqrt{2 \cdot E}, k_2 = \sqrt{2 \cdot (U_0 - E)}$$

$$\kappa = \frac{k_1}{k_2}; \cos \phi_\kappa = \frac{1}{\sqrt{1 + \kappa^2}}; \sin \phi_\kappa = \frac{\kappa}{\sqrt{1 + \kappa^2}};$$



$$A_2 = \sqrt{1 + \kappa^2}^3 e^{ik_1 2d - k_2 d} \left[e^{-k_2 d + i 3 \phi_\kappa} - e^{-i \phi_\kappa + k_2 d} - e^{ik_1 2D - i \phi_\kappa - k_2 d} + e^{ik_1 2D - i \phi_\kappa + k_2 d} \right] / 8i\kappa$$

$$B_2 = \sqrt{1 + \kappa^2}^3 e^{ik_1 2d + k_2 d} \left[e^{i \phi_\kappa - k_2 d} - e^{k_2 d - 3i \phi_\kappa} - e^{ik_1 2D + i \phi_\kappa - k_2 d} + e^{ik_1 2D + i \phi_\kappa + k_2 d} \right] / 8i\kappa;$$

$$A_1 + B_1 = A_2 + B_2;$$

$$ik_1 A_1 - ik_1 B_1 = A_2 k_2 - B_2 k_2;$$

$$A_1 = \sqrt{1 + \kappa^2} \left[A_2 e^{i \phi_\kappa} - B_2 e^{-i \phi_\kappa} \right] / 2i\kappa$$

$$-\sqrt{1 + \kappa^2}^4 e^{ik_1 2d} \left[e^{-2k_2 d + i 4 \phi_\kappa} - 1 - e^{ik_1 2D - 2k_2 d} + e^{ik_1 2D} - 1 + e^{2k_2 d - 4i \phi_\kappa} + e^{ik_1 2D} - e^{ik_1 2D + 2k_2 d} \right] / 16\kappa^2;$$

$$\sqrt{1 + \kappa^2}^4 e^{ik_1 2d} \left[2 - e^{-2k_2 d + i 4 \phi_\kappa} + e^{ik_1 2D - 2k_2 d} - 2e^{ik_1 2D} - e^{2k_2 d - 4i \phi_\kappa} + e^{ik_1 2D + 2k_2 d} \right] / 16\kappa^2$$

$$\sqrt{1 + \kappa^2}^4 e^{ik_1 2d} \left[e^{ik_1 2D} (e^{-k_2 d} - e^{k_2 d})^2 - (e^{-k_2 d + i 2 \phi_\kappa} - e^{k_2 d - 2i \phi_\kappa})^2 \right] / 16\kappa^2$$

$$\sqrt{1 + \kappa^2}^4 e^{ik_1 2d} \left[e^{ik_1 D} (e^{k_2 d} - e^{-k_2 d}) - (e^{-k_2 d + i 2 \phi_\kappa} - e^{k_2 d - 2i \phi_\kappa}) \right] \left[e^{ik_1 D} (e^{k_2 d} - e^{-k_2 d}) + (e^{-k_2 d + i 2 \phi_\kappa} - e^{k_2 d - 2i \phi_\kappa}) \right] / 16\kappa^2$$

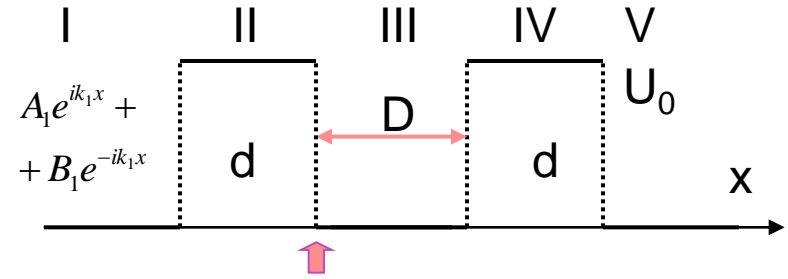
Коэффициент прохождения определяется как $\frac{1}{|A_5|^2}$ но для анализа удобнее коэффициент отражения

Отражение плоской волны от двойного барьера

Коэффициент поглощения при прохождении двойного прямоугольного потенциального барьера

$$k_1 = \sqrt{2 \cdot E}, k_2 = \sqrt{2 \cdot (U_0 - E)}$$

$$\kappa = \frac{k_1}{k_2}; \cos \phi_\kappa = \frac{1}{\sqrt{1 + \kappa^2}}; \sin \phi_\kappa = \frac{\kappa}{\sqrt{1 + \kappa^2}};$$



$$A_2 = \sqrt{1 + \kappa^2}^3 e^{ik_1 2d - k_2 d} \left[e^{-k_2 d + i 3 \phi_\kappa} - e^{-i \phi_\kappa + k_2 d} - e^{ik_1 2D - i \phi_\kappa - k_2 d} + e^{ik_1 2D - i \phi_\kappa + k_2 d} \right] / 8i\kappa$$

$$B_2 = \sqrt{1 + \kappa^2}^3 e^{ik_1 2d + k_2 d} \left[e^{i \phi_\kappa - k_2 d} - e^{k_2 d - 3i \phi_\kappa} - e^{ik_1 2D + i \phi_\kappa - k_2 d} + e^{ik_1 2D + i \phi_\kappa + k_2 d} \right] / 8i\kappa;$$

$$A_1 + B_1 = A_2 + B_2;$$

$$ik_1 A_1 - ik_1 B_1 = A_2 k_2 - B_2 k_2;$$

$$B_1 = \sqrt{1 + \kappa^2} \left[-A_2 e^{-i \phi_\kappa} + B_2 e^{i \phi_\kappa} \right] / 2i\kappa =$$

$$-\sqrt{1 + \kappa^2}^4 e^{ik_1 2d} \sinh k_2 d \left[e^{2i \phi_\kappa} e^{ik_1 D} (e^{-k_2 d - ik_1 D} + e^{ik_1 D + k_2 d}) - e^{-2i \phi_\kappa} e^{ik_1 D} (e^{-k_2 d + ik_1 D} + e^{-ik_1 D + k_2 d}) \right] / 16\kappa^2 =$$

$$-\sqrt{1 + \kappa^2}^4 e^{ik_1 2d} \sinh k_2 d e^{ik_1 D} \left[(e^{2i \phi_\kappa} - e^{-2i \phi_\kappa}) \cos k_1 D \cosh k_2 d + i \sin k_1 D \sinh k_2 d (e^{2i \phi_\kappa} + e^{-2i \phi_\kappa}) \right] / 16\kappa^2 =$$

$$-\sqrt{1 + \kappa^2}^4 e^{ik_1 2d} \sinh k_2 d e^{ik_1 D} 2i \left[\sin 2\phi_\kappa \cos k_1 D \cosh k_2 d + \sin k_1 D \sinh k_2 d \cos 2\phi_\kappa \right] / 16\kappa^2$$

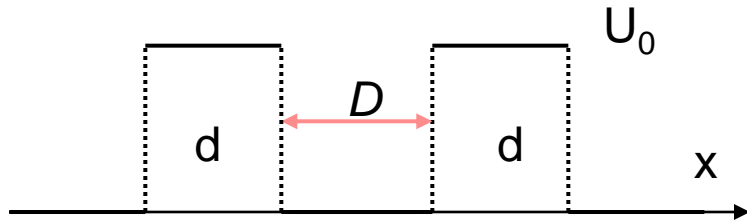
Когда $B_1=0$, коэффициент прохождения будет единица.

$$\left[\sin 2\phi_\kappa \cos k_1 D \cosh k_2 d + \cos 2\phi_\kappa \sin k_1 D \sinh k_2 d \right] = 0$$

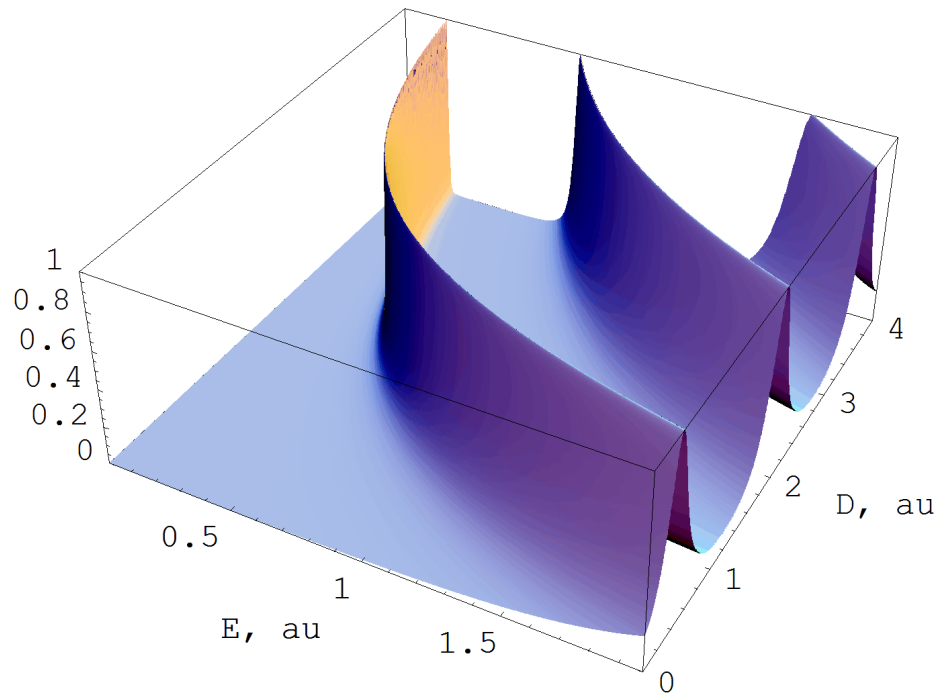
$$\sin 2\phi_\kappa \cos k_1 D + \cos 2\phi_\kappa \sin k_1 D \tanh k_2 d \xrightarrow{d \rightarrow \infty} \sin(2\phi_\kappa + k_1 D)$$

Соответствует собственным значениям ямы ширины D и глубины U_0

Резонансы при отражении

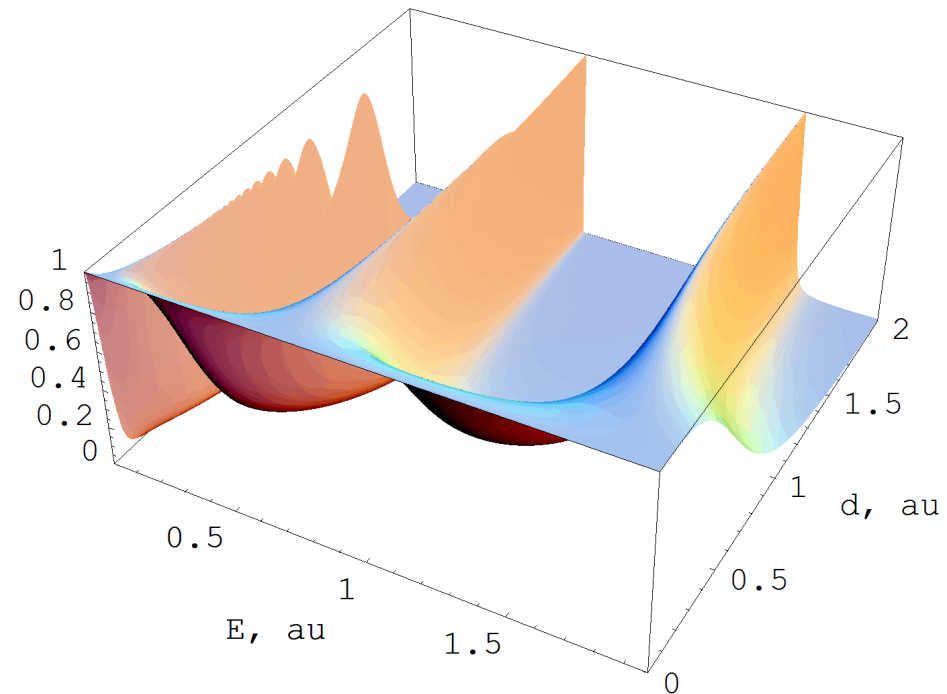


$U_0=2$ au, $d=1$ au



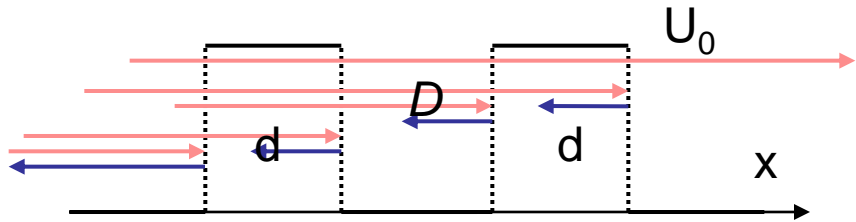
Коэффициент поглощения при
прохождении двойного
прямоугольного потенциального
барьера

$U_0=2$ au, $D=4$ au



Резонансы при отражении

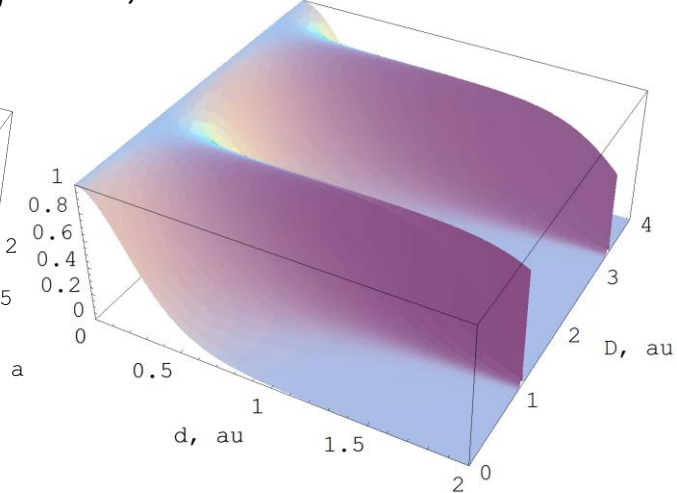
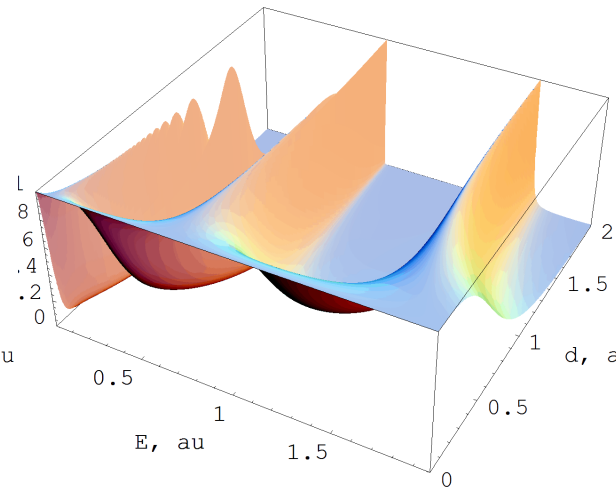
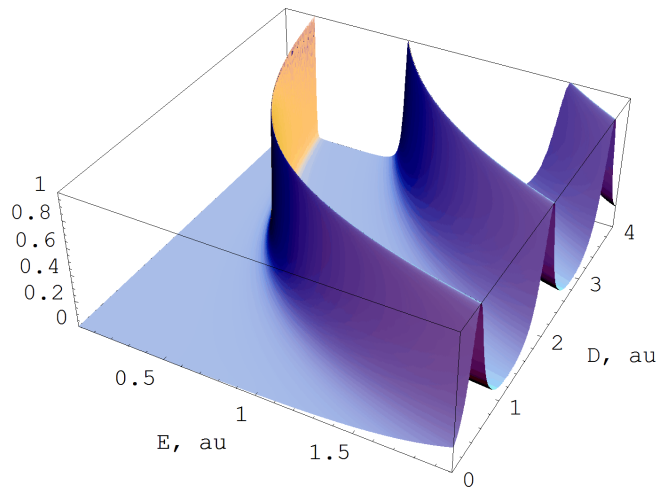
Коэффициент поглощения при
прохождении двойного
прямоугольного потенциального
барьера



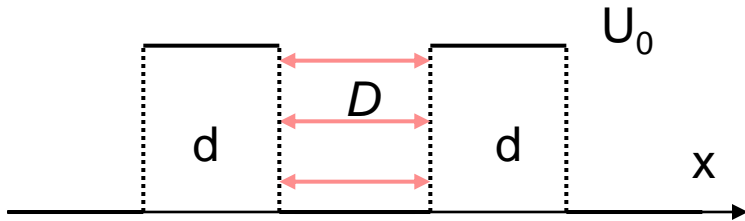
$U_0=2$ au, $d=1$ au

$U_0=2$ au, $D=4$ au

$U_0=2$ au, $E=1$ au

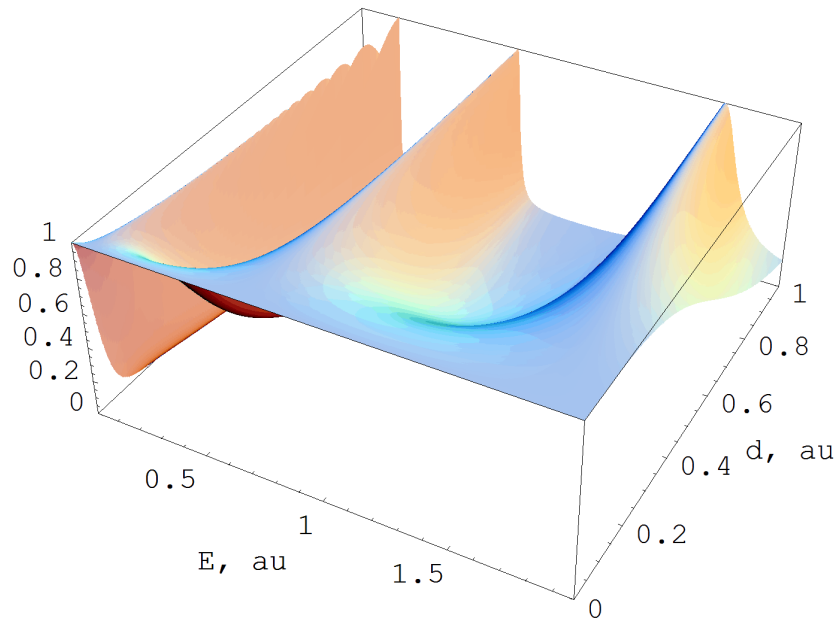


Резонансы при отражении



Автоионизационное
(квазидискретное) состояние -
резонанс

$U_0=2$ au, $D=4$ au



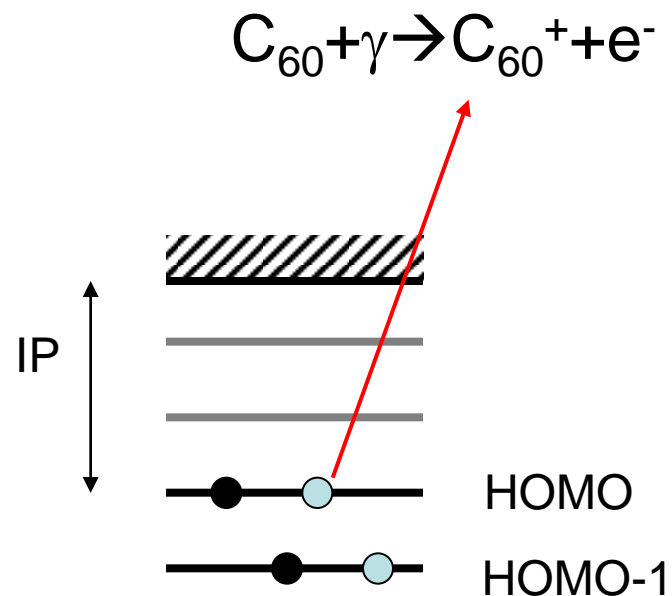
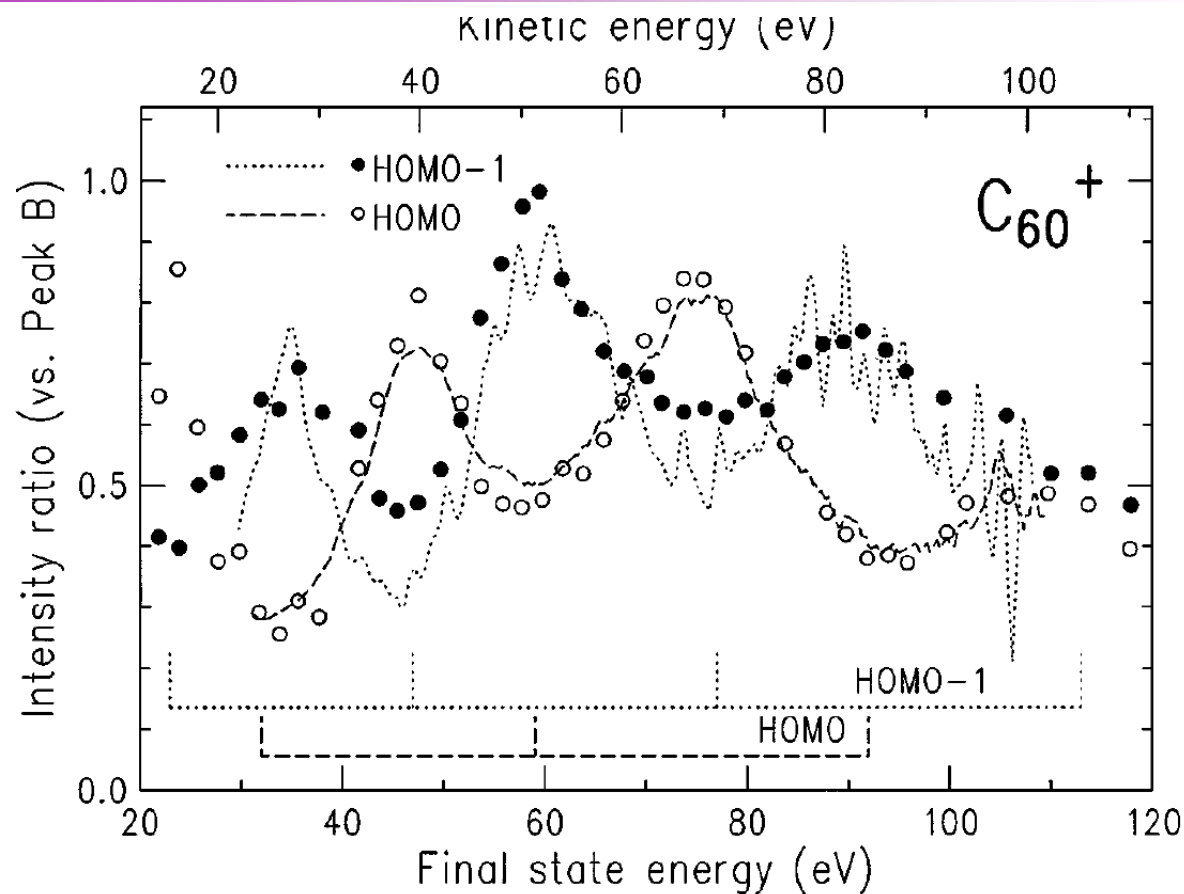
$E_1=0.20$
 $E_2=0.77$
 $E_3=1.62$

Определить ширину
автоионизационного состояния

Первая идентификация конфайнмент-резонансов в фуллеренах

Y.B. Xu, M.Q. Tan, and U. Becker, *Phys. Rev. Lett.* **76**, 3538 (1996).

«Oscillations in the Photoionization Cross Section of C_{60} »

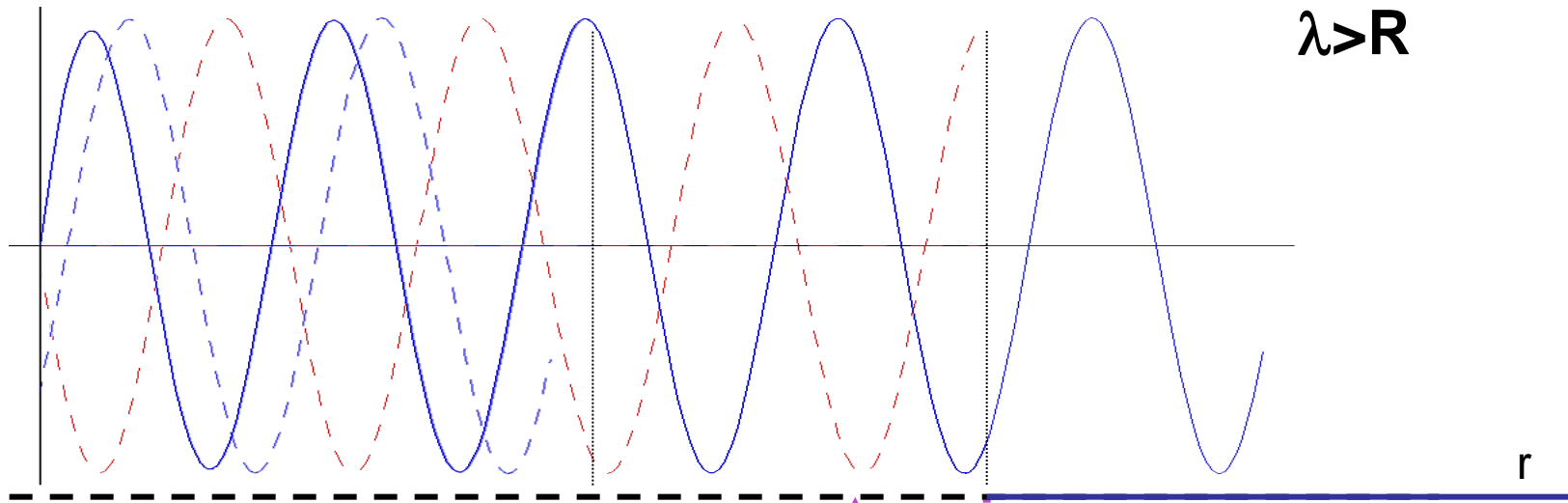


Формирование конфайнмент-резонансов

Y.B. Xu, M.Q. Tan, and U. Becker, *Phys. Rev. Lett.* **76**, 3538 (1996).

«Oscillations in the Photoionization Cross Section of C₆₀»

$\lambda > R$



$U_{00} = 7.2 \text{ eV}$

Valence orbital	Model A	Model B	Experiment
HOMO	32	31	34
	59	59	58
	92	93	93
HOMO-1	23	23	23
	47	47	46
	77	78	76

$U_0 = 78 \text{ eV}$

$$\int_0^\infty R_f^*(r) \frac{\partial}{\partial r} R_i(r) r^2 dr \simeq 0$$

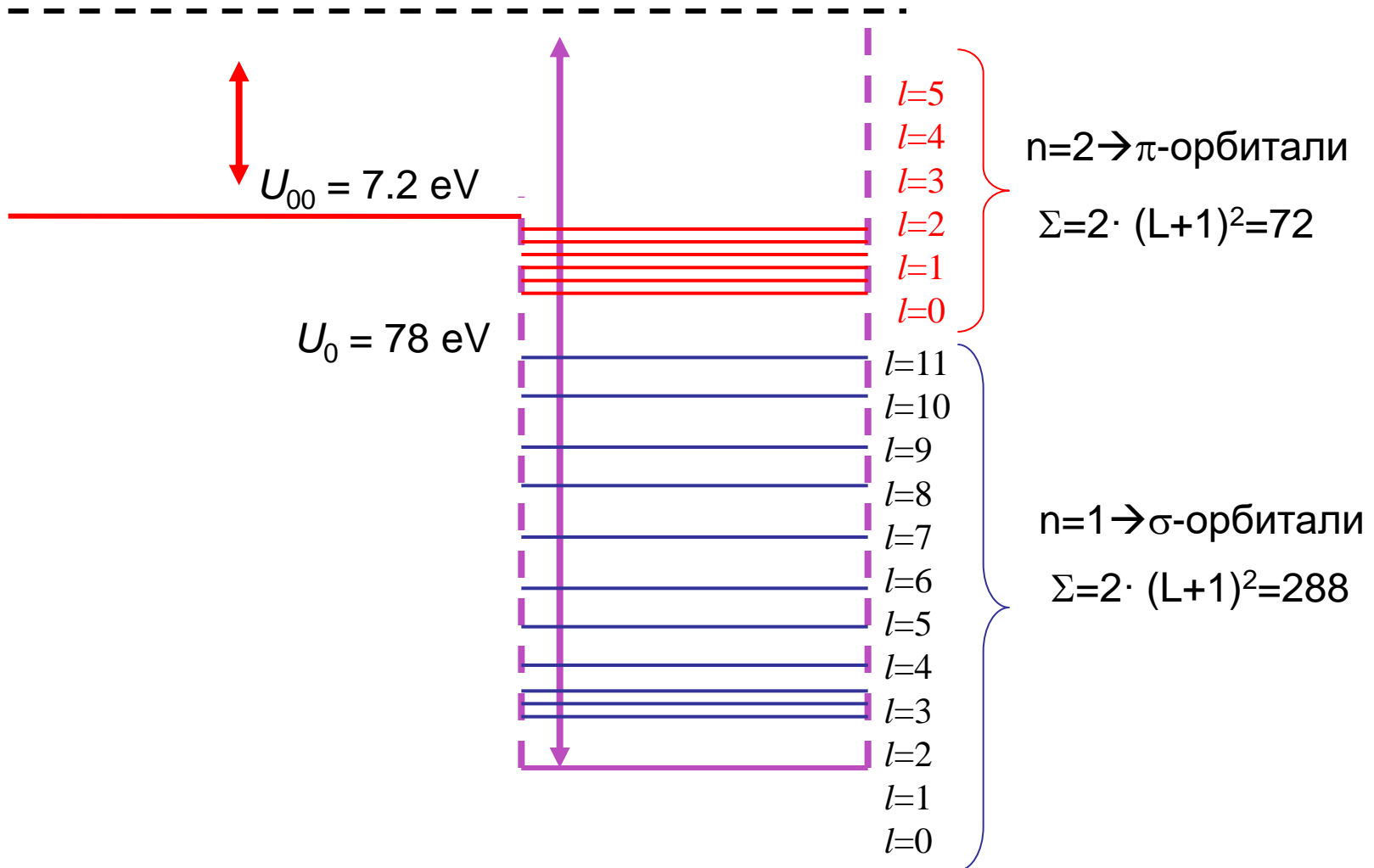
$$k'R - \frac{l}{2} \pi + \delta_l' = n\pi, n = 0, 1, 2, \dots,$$

R=3.5 Å, D~3 Å

Спектр в потенциальной модели

Y.B. Xu, M.Q. Tan, and U. Becker, *Phys. Rev. Lett.* **76**, 3538 (1996).

«Oscillations in the Photoionization Cross Section of C_{60} »

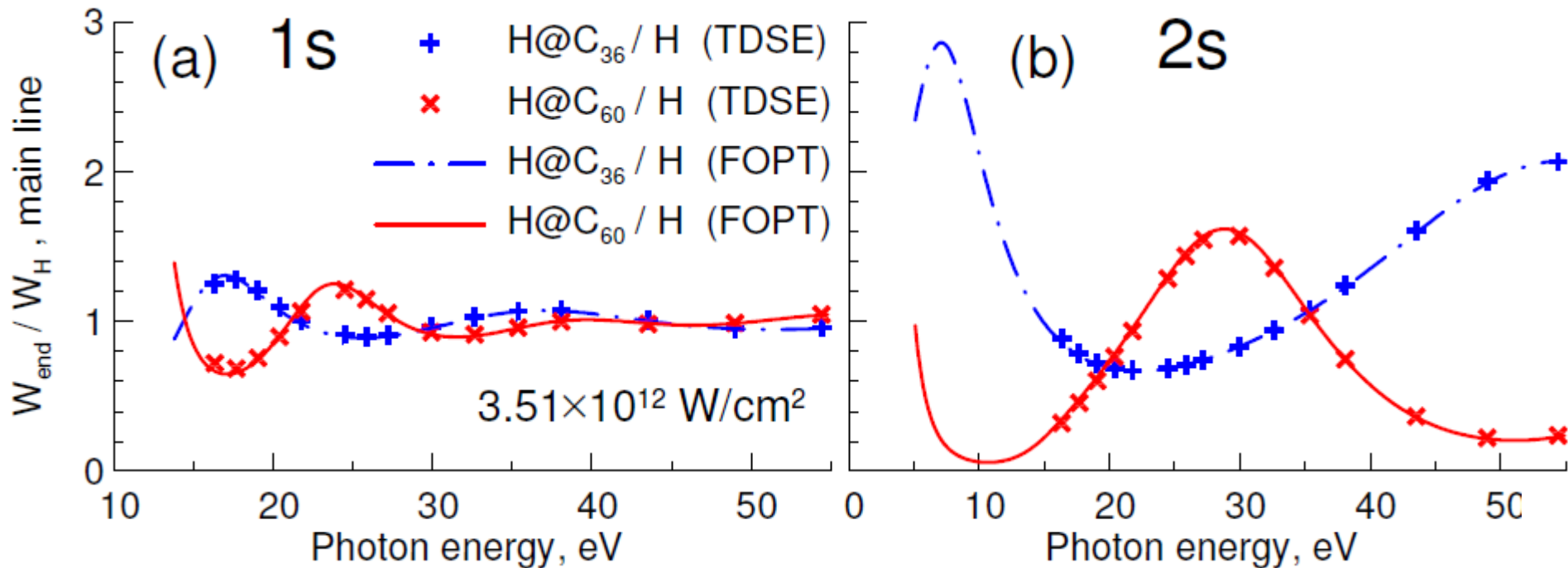


Спектр фотоионизации H@C₆₀ и H@C₃₆

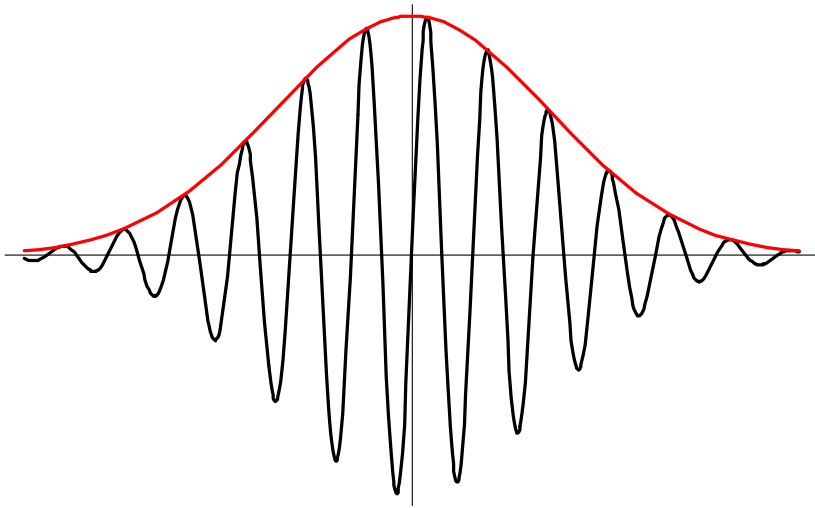
A N Grum-Grzhimailo, E V Gryzlova and S I Strakhova

«Effects of fullerene confining potential on the ionization of the hydrogen atom by a strong femtosecond VUV pulse»

J. Phys. B: At. Mol. Opt. Phys. **44**, 235005 (2011).



Волновой пакет



Свойства волнового пакета

- ✓ Фазовая и групповая скорости.
- ✓ Движение свободной частицы.
- ✓ Эволюция стационарного состояния

$$E = \frac{E_0}{\delta k} \int_{k-\delta k/2}^{k+\delta k/2} \exp(-i(\omega t - kx)) dk = \frac{E_0}{\delta k} \int_{k-\delta k/2}^{k+\delta k/2} \exp(-i(\omega_0 t + \frac{\partial \omega}{\partial k} (k - k_0)t - kx)) dk =$$

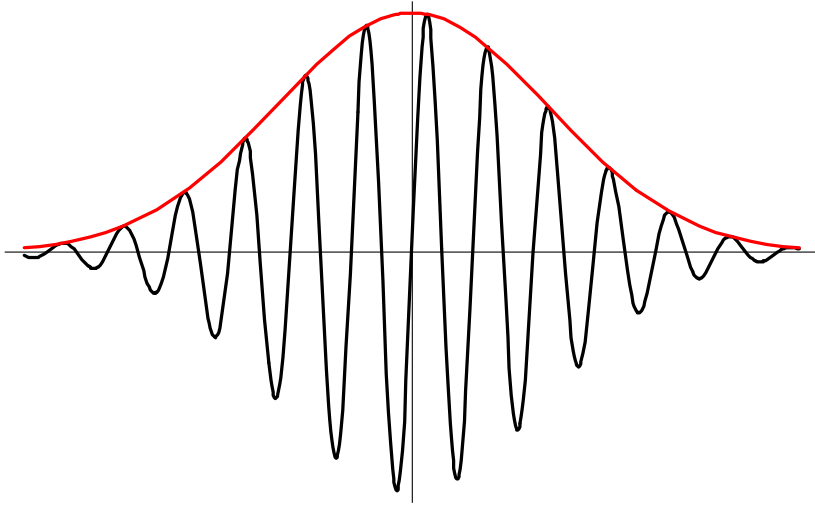
$$E_0 \frac{\sin\left(\frac{\partial \omega}{\partial k} t - x\right) \delta k / 2}{\left(\frac{\partial \omega}{\partial k} t - x\right) \delta k / 2} \exp(-i(\omega_0 t - k_0 x))$$

Two red arrows point from the text below to the terms in the equation above. One arrow points to the denominator $\left(\frac{\partial \omega}{\partial k} t - x\right) \delta k / 2$, and the other points to the exponent $\exp(-i(\omega_0 t - k_0 x))$.

Движение пакета как целого,
групповая скорость

Движение волны,
фазовая скорость

Волновой пакет



Свойства волнового пакета

- ✓ Фазовая и групповая скорости.
- ✓ Движение свободной частицы.
- ✓ Эволюция стационарного состояния

Волновой пакет свободной частицы

$$\psi(x, t) = \int a_0(k) e^{i(kx - \frac{k^2}{2}t)} dk;$$

$$a_0(k) = \frac{1}{2\pi} \int \psi(x, 0) e^{-ikx} dx$$

$$E = \omega(k) = \frac{k^2}{2}.$$

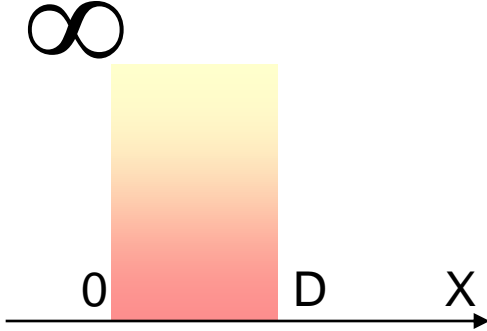
Волновой пакет в потенциале

$$\Psi(x, t) = \sum a_n \psi_n(x) e^{-iE_n t}$$

$$a_n = \int \Psi(x, 0) \psi_n(x) dx$$

Волновой пакет

Эволюция пакета в прямоугольном потенциале



$$E_n = \frac{\pi^2 n^2}{2D^2}, \psi_n(x) = \sin \sqrt{2E_n} x$$

$$\Psi(x,t) = \sum_n a_n \exp(-iE_n t) \psi_n(x);$$

$$a_n = \int \Psi(x,0) \psi_n(x) dx$$

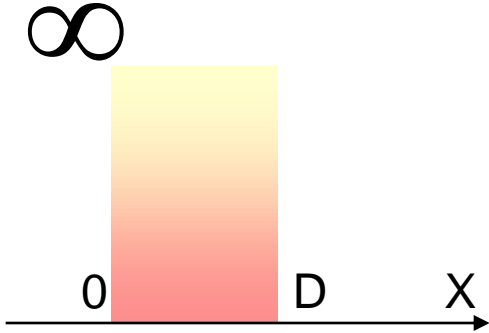
$$\Psi(x,0) = \psi_1(x)$$

$$\Psi(x,0) = \frac{\psi_1(x) + \psi_2(x)}{\sqrt{2}}$$

$$\Psi(x,0) = \frac{1}{\sqrt{D}}$$

Волновой пакет

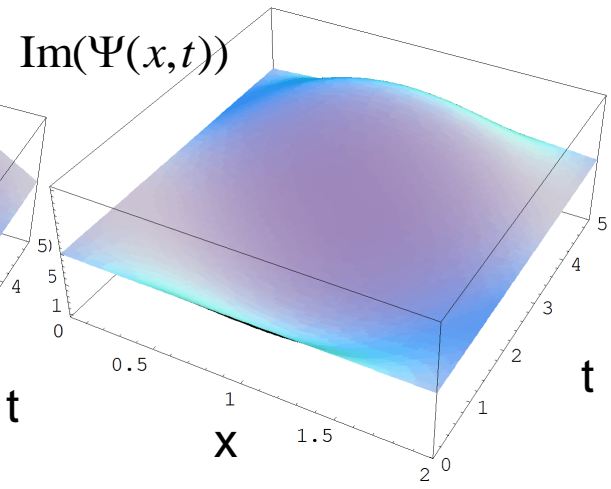
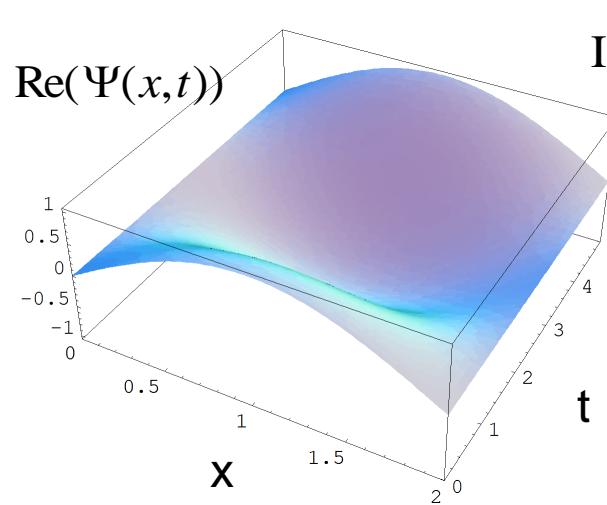
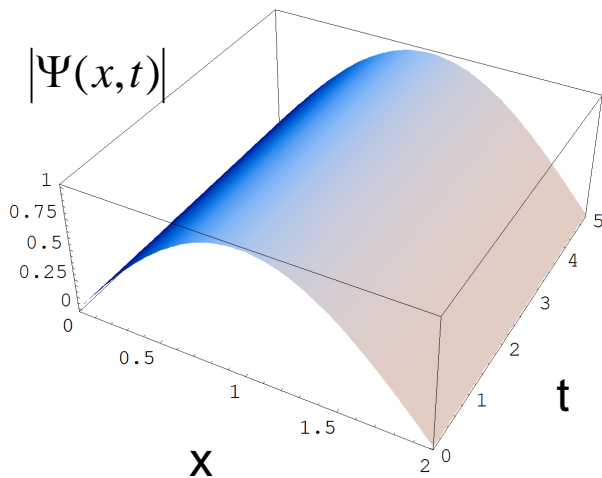
Эволюция пакета в прямоугольном потенциале



$$E_n = \frac{\pi^2 n^2}{2D^2}, \psi_n(x) = \sin \sqrt{2E_n} x$$

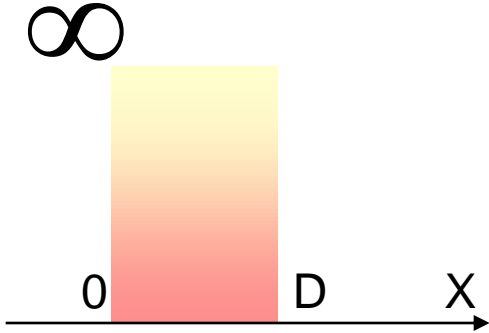
$$\Psi(x,t) = \sum_n a_n \exp(-iE_n t) \psi_n(x); \quad a_n = \int \Psi(x,0) \psi_n(x) dx$$

$$\Psi(x,0) = \psi_1(x)$$



Волновой пакет

Эволюция пакета в прямоугольном потенциале

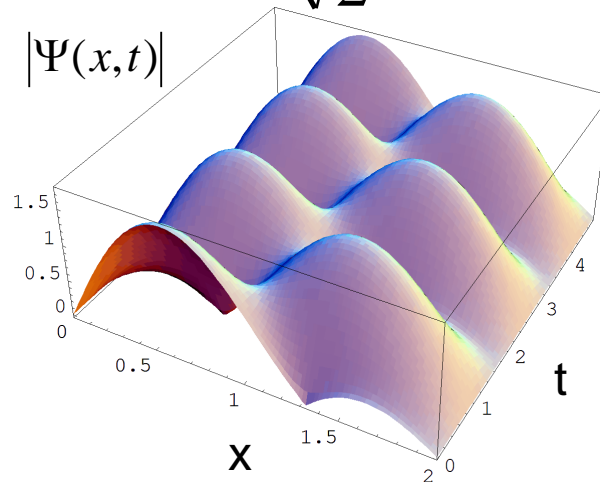
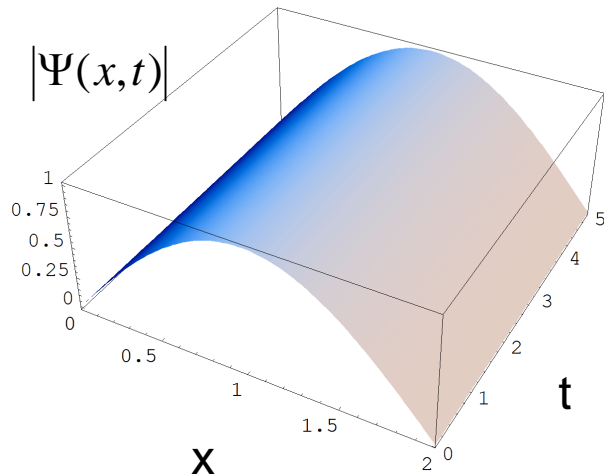


$$E_n = \frac{\pi^2 n^2}{2D^2}, \quad \psi_n(x) = \sin \sqrt{2E_n} x$$

$$\Psi(x,t) = \sum_n a_n \exp(-iE_n t) \psi_n(x); \quad a_n = \int \Psi(x,0) \psi_n(x) dx$$

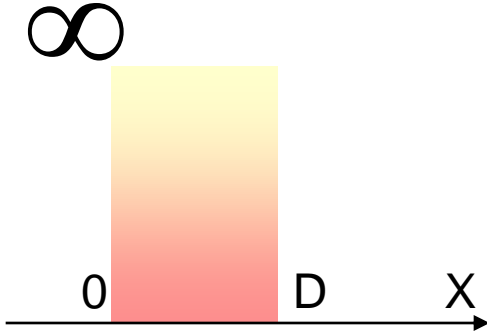
$$\Psi(x,0) = \psi_1(x)$$

$$\Psi(x,0) = \frac{\psi_1(x) + \psi_2(x)}{\sqrt{2}}$$



Волновой пакет

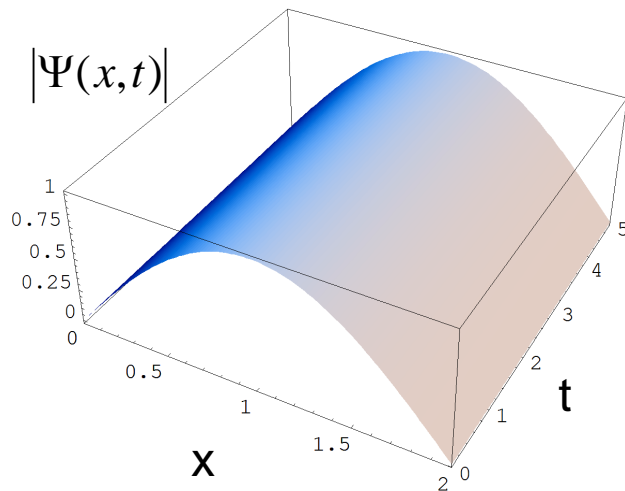
Эволюция пакета в прямоугольном потенциале



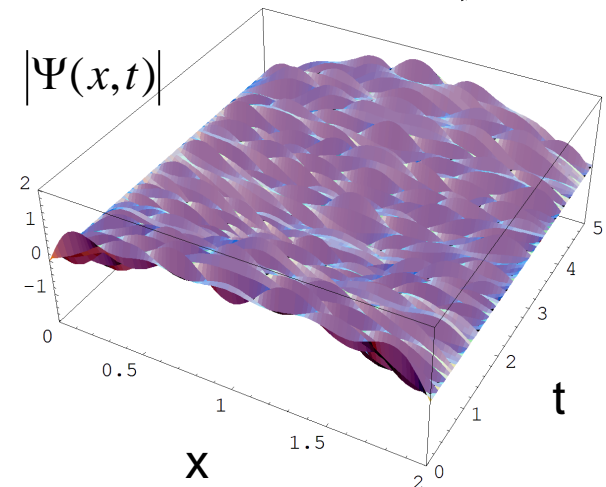
$$E_n = \frac{\pi^2 n^2}{2D^2}, \psi_n(x) = \sin \sqrt{2E_n} x$$

$$\Psi(x,t) = \sum_n a_n \exp(-iE_n t) \psi_n(x); \quad a_n = \int \Psi(x,0) \psi_n(x) dx$$

$$\Psi(x,0) = \psi_1(x)$$



$$\Psi(x,0) = \frac{1}{\sqrt{D}}$$



$$\begin{aligned} a_1 &= 0.900316 \\ a_3 &= 0.300105 \\ a_5 &= 0.180063 \\ a_7 &= 0.128617 \\ a_9 &= 0.100035 \end{aligned}$$